

სითხის ჩამინდების მოდელირებისათვის გამოყენებულია პროგრამული პაკეტი FLUENT და GAMBIT.

დ.კილურაძე, პ.გიგიშვილი, ო.კილურაძე

სითხის ან აირის მოძრაობის კომპიუტერული მოდელირებისათვის გამოყენებულია პროგრამული პაკეტი FLUENT და GAMBIT.

განხილულია სითხეში ჩაძირული სხვადასხვა ფორმის ფიზურების (წრის 3/4, 1/2 და 1/4 რკალები) გლიცერინით, მცოცავი რეჟიმით გარსდენის კომპიუტერული მოდელირების სურათები. რეინოლდსის რიცხვის საშუალო მნიშვნელობაა $Re_L = 0.112$, ხოლო ნაკადი სიჩქარის დიამეტრისა 1-4.7 მმ/წმ. რკალების გარსდენისას დაფიქსირებულია თითო წყვილი გრივლი, რომელთა ცენტრებს შორის მანძილი შესაბამისობაშია ექსპერიმენტით მიღებულ მონაცემებთან (ნახვარ წრის გარსდენა). მცოცავი რეჟიმით დინებისას წრის და მისი სხვადასხვა რკალის ნაკადის რევერსი პრაქტიკულად გაფლენას არ ახდენს დინების პიდროდინამიკურ სურათზე.

პიდროდინამიკური პროცესების ვიზუალური წარმოდგენა, პირველ რივში, მნიშვნელოვანია სწავლების პროცესისათვის. ლექციებისა და სემინარების ჩატარების დროს ვიზუალური გამოსახულებები და ანიმაციური სურათები მნიშვნელოვნად ამაღლებენ მასალის ათვისების უნარს. ასევე საგულისხმოა მსმენელებში პიდროდინამიკური ინტუიციის ფორმირების ხელშეწყობა.

პიდროდინამიკური პროცესების დაკვირვებისათვის ნაკადის ვიზუალიზაციას უძველესი დროიდან ენიჭებოდა მნიშვნელოვანი როლი. იგი იძლეოდა მოვლენის ხარისხის გაგებისა და ბოლო პერიოდში კი უკვე რაოდენობრივი შეფასების შესაძლებლობას.

ნაკადის დინების ერთ-ერთი სახეა მცოცავი რეჟიმი, რომელიც ხორციელდება ნაკადის ძალიან მცირე სიჩქარეების პირობებში (რეინოლდსის დაბალი რიცხვების პირობებში).

ვიწრო ღრეჩიოში (ხელსაწყო Hele-Shaw) სხვადასხვა სხეულის გარსდენის სურათები ასეთი რეჟიმებისათვის როგორც თეორიულ, ასევე პრაქტიკულ ინტერესს იძნება.

[1]-ში მოცემულია აშშ-ის, ინგლისის, საფრანგეთის, იაპონიისა და სხვა ქვეყნების სპეციალისტების ექსპერიმენტული კვლევის შედეგები სითხეებისა და გაზების სხვადასხვა პირობებში დინების ამსახველი ფოტოების სახით. ამ მასალების კლასიფიკაცია, დამუშავება და კომენტარები შესრულებულია ცნობილი ამერიკელი მეცნიერის მილტონ ვან-დაიკის მიერ. ეს წიგნი უნიკალურია იმითაც, რომ პიდროდინამიკის არსებობის ორნახევარი საუკუნის პერიოდში იგი ამ სახის ერთადერთი ნაშრომია.

ხელსაწყო Hele-Shaw წარმოადგენს ერთმანეთთან ძალიან ახლოს მდებარე (ერთეული მილიმეტრები) ორი პარალელური ფირფიტით შექმნილ ვიწრო ღრეჩიოს შევსებულს სითხით, რომელიც მოძრაობაში მოდის ბოლოებს შორის მოდებული მუდმივი წნევათა სხვაბით. სითხეში ჩაძირულია სხვადასხვა სხეული- “წინაღობა”, რომლის გარსდენაც კვლევის ობიექტს წარმოადგენს. ხელსაწყოს შესასვლელ ნაწილში შეპყვით შემაფერადებელი ნივთიერება, რათა შესაძლებელი გახდეს ნაკადზე ვიზუალური დაკვირვება და პიდრავლიკური მოვლენების ფოტოგრაფირება.

ასეთი სახის ექსპერიმენტების ჩატარება დიდ ტექნიკურ სირთულეებთანაა დაკავშირებული, მაშინ როდესაც პროცესების კომპიუტერული მოდელირებით შედარებით მარტივად მიიღება ნაკადის სიჩქარისა და წნევის ძალწირების სურათები სხვადასხვა სხეულის გარსდენის შემთხვევებისათვის.

სითხის ან აირის მოძრაობის მოდელირებისათვის გამოყენებულია პიდროაეროდინამიკური პროგრამები FLUENT და GAMBIT. ეს პროგრამული პაკეტი ფართოდ გამოიყენება ისეთ

სფეროებში, როგორიცაა: ავიაცია, უნიტეტიკა, საავტომობილო ინდუსტრია, ქიმია, ფიზიკა და სხვ. მათი მომხმარებლებია ისეთი ცნობილი ფირმები, როგორიცაა BOING, BMW და სხვ.

FLUENT და **GAMBIT** პროგრამებთან მუშაობა მოიცავს სამ ძირითად ეტაპს [2]: 1) ბადის გენერირება პროგრამა **GAMBIT**-ში და ნახაზის გადატანა პროგრამა **FLUENT**-ში; 2) გამოთვლების ჩატარება და 3) შედეგების გამოტანა. პროგრამა **FLUENT**-ში გამოთვლების ჩატარება შესაძლებელია როგორც ორ, ასევე სამ განზომილებიან არეში (2D და 3D). მეორე ეტაპის წინ საჭიროა შევიტანოთ ნაკადის საწყისი მონაცემები: სიჩქარე, ტემპერატურა, წნევა, სიმკვრივე, დინების სახე და სხვ. ბოლო ეტაპზე შეიძლება განისაზღვროს ნაკადის სიჩქარე, სიჩქარის გეტორი, წნევა. ტემპერატურა სასურველ წერტილებში და აგრეთვე ნაკადის ნებისმიერ კვეთში შეიძლება მივიღოთ სიჩქარისა და წნევის პროფილი.

ჰიდროდინამიკური პროცესების ვიზუალური წარმოდგენა, ჰირველ რიგში, მნიშვნელოვანია სწავლების პროცესისათვის. ლექციებისა და სემინარების ჩატარებისას ვიზუალური გამოსახულებები და ანიმაციური სურათები მნიშვნელოვნად ამაღლებენ თეორიის გაგების უნარს. კიდევ უფრო საგულისხმოა მსმენელებში ჰიდროდინამიკური ინტუიციის ფორმირების ხელშეწყობა.

სითხეში ჩაძირული სხვადასხვა ფორმის ფიგურებს: წრე, წრის $3/4$; $1/2$ და $1/4$ რკალები, გარსდენის კომპიუტერული სურათები ნაჩვენებია ნახაზებზე $1-4$. შესაბამის $1-4$ ნახაზებზე მოცემულია სიჩქარის ძალწირები, ვექტორები და სიჩქარის მრუდები მახასიათებელ კვეთებში და ნაკადის რევერსის შემთხვევები.

გაანგარიშებები ჩატარებულია გლიცერინით მცირავი რეჟიმით გარსდენის ჰირობებში: $\rho=1266.5 \text{ კგ/მ}^3$; დინამიკური სიბლანტის კოეფიციენტი $\mu=0.799$ ჰა.წშ და კინემატიკური სიბლანტის კოეფიციენტი $\nu=6.31 \cdot 10^{-4} \text{ მ}^2/\text{წმ}$. დინების მახასიათებელი პარამეტრები მოცემულია იმ კვეთებში, რომლებიც მითითებულია ნახაზებზე ჰირობითი ნულიდან დაშორებულ მანძილებზე (ჰირობითი ნული დაშორებულია წრეწირის ცენტრიდან 100 მმ მანძილზე). ყველა სურათზე ნაკადის მოძრაობის მიმართულება არის მარცხნიდან მარჯვნივ, თუ სპეციალურად არ არის მითითებული მოძრაობის მიმართულების შესახებ.

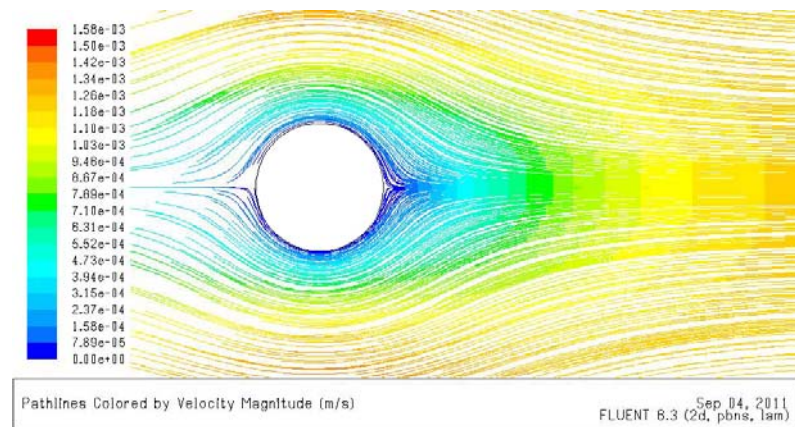
ნახ. 1.1. ნაჩვენებია წრის გარსდენა გლიცერინის ნაკადით. წრის დიამეტრია 20 მმ , ნაკადის სიჩქარეა 1 მმ/წმ და $Re_d=0.0317$ და $Re_L=0.0995$. ნაკადის გადაადგილება ხდება სითხის ცალკეული მოცულობების ბრუნვის (დაგრიგალების) გარეშე. დინების სურათი სიმეტრიულია.

ნახ. 2.1. ნაჩვენებია 20 მმ დიამეტრის წრის $3/4$ რკალის გარსდენა. ნაკადის სიჩქარეა $1,6 \text{ მმ/წმ}$, $Re_L=0.119$.

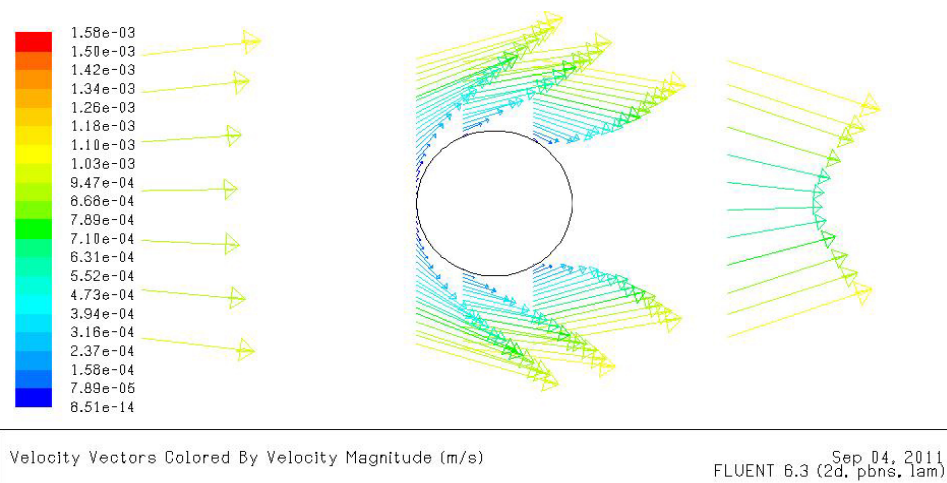
ნახ. 3.1. ნაჩვენებია 20 მმ დიამეტრის წრის $1/2$ რკალის გარსდენა. ნაკადის სიჩქარეა $2,3 \text{ მმ/წმ}$, $Re_L=0.114$.

ნახ. 4.1. ნაჩვენებია 20 მმ დიამეტრის წრის $1/4$ რკალის გარსდენა. ნაკადის სიჩქარეა $4,7 \text{ მმ/წმ}$, $Re_L=0.117$.

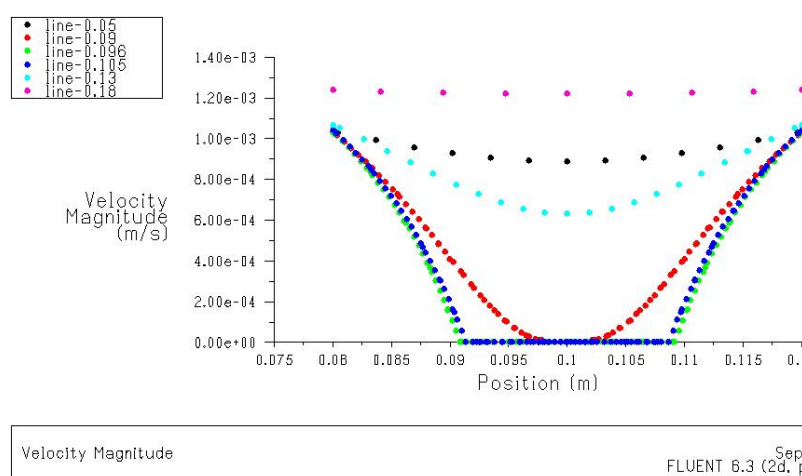
1.4, 2.4, 3.4 და 4.4 სურათები შეესაბამება ნაკადის რევერსის შემთხვევებს. ჰიდროდინამიკური გარსდენის სურათები სიმეტრიულია.



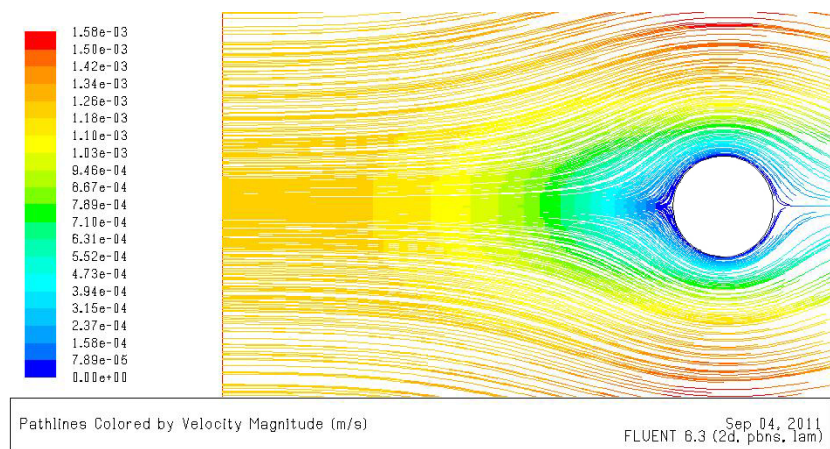
1.1. წრის გლიცერინით გარსდენის კომპიუტერული მოდელირება.
სიჩქარის ძალწილები. $Re_d = 0.0995$



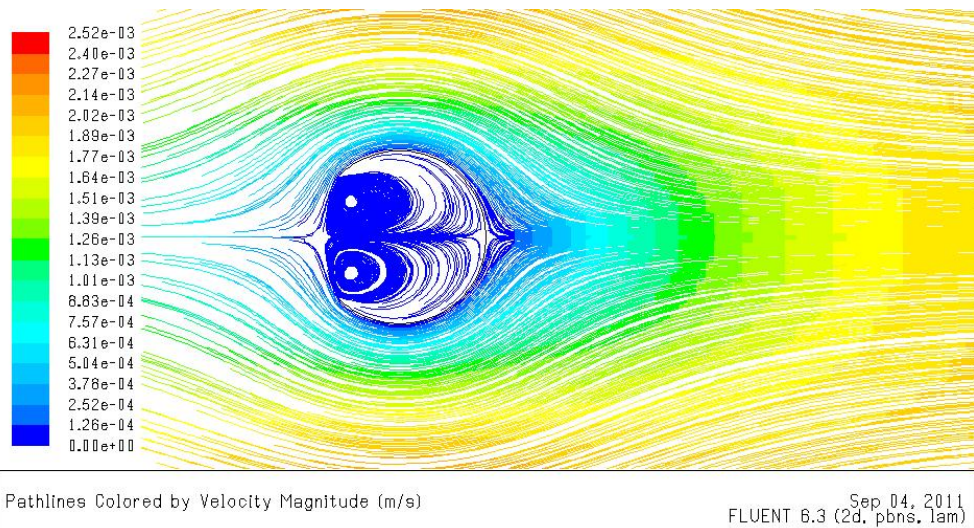
1.2. წრის გლიცერინით გარსდენის კომპიუტერული მოდელირება.
სიჩქარის ვექტორები მახასიათებელ კვეთებში



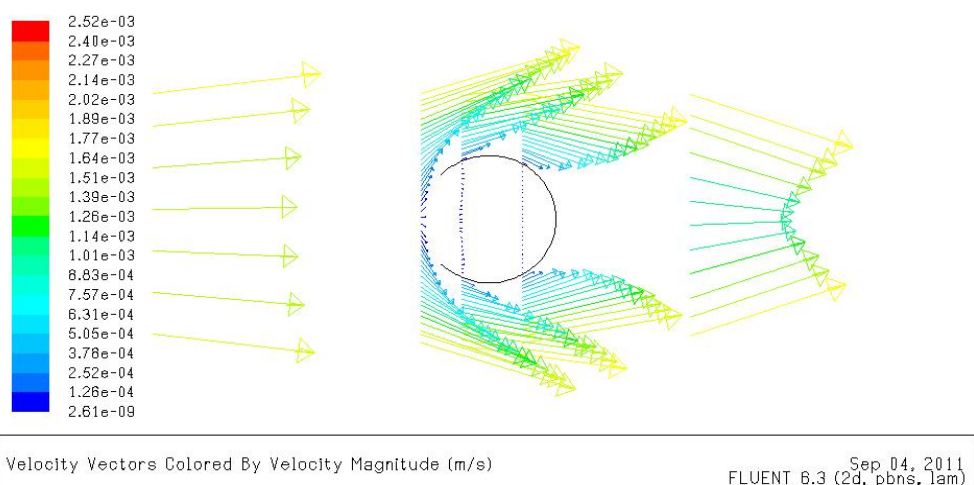
1.3. წრის გლიცერინით გარსდენის კომპიუტერული მოდელირება.
სიჩქარის განაწილების მრუდები მახასიათებელ კვეთებში



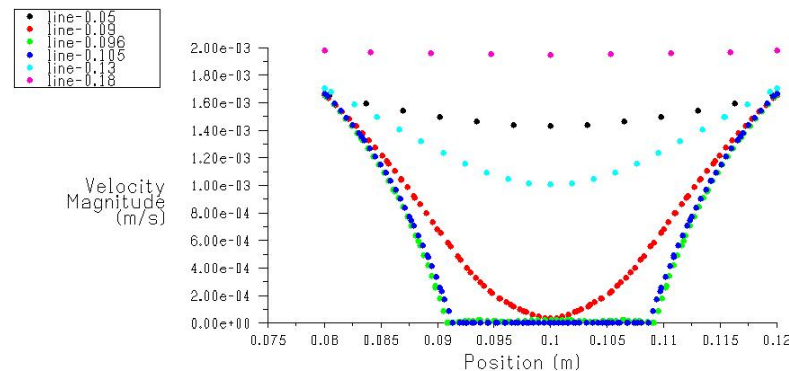
1.4. წრის გლიცერინით გარსდენის კომპიუტერული მოდელირება.
ნაკადის რევერსი



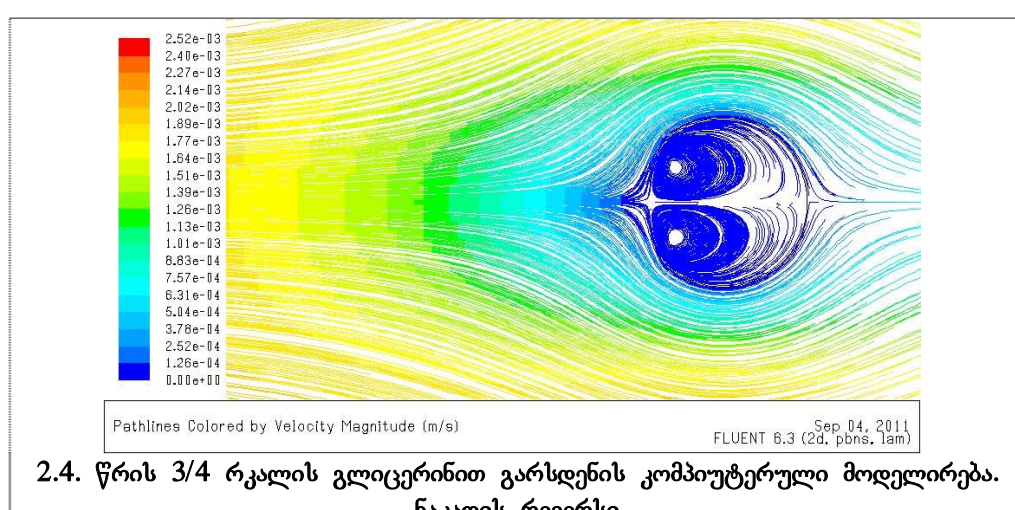
2.1. წრის $3/4$ რკალის გლიცერინით გარსდენის კომპიუტერული მოდელირება.
სიჩქარის ძალწირები. $Re_L = 0.019$



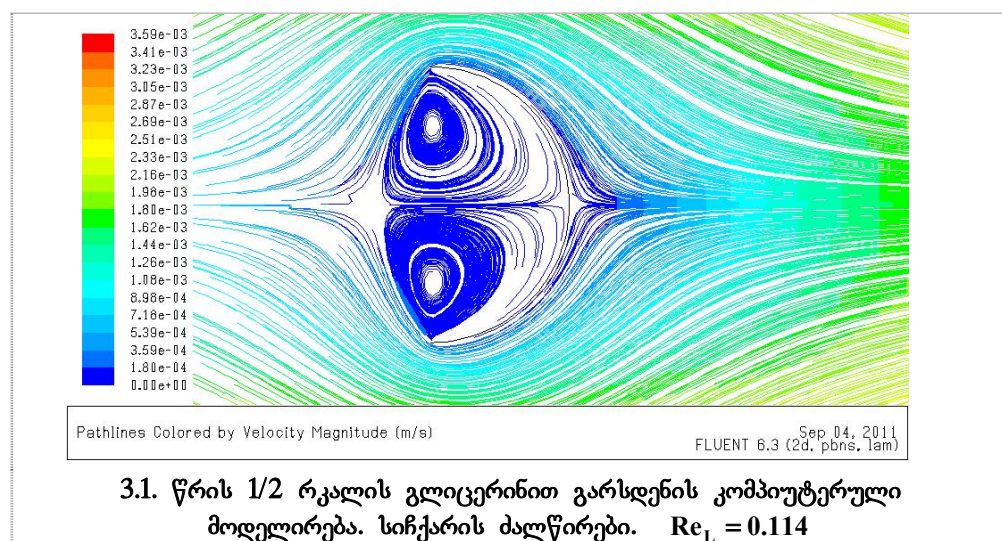
2.2. წრის $3/4$ რკალის გლიცერინით გარსდენის კომპიუტერული მოდელირება.
სიჩქარის ვექტორები



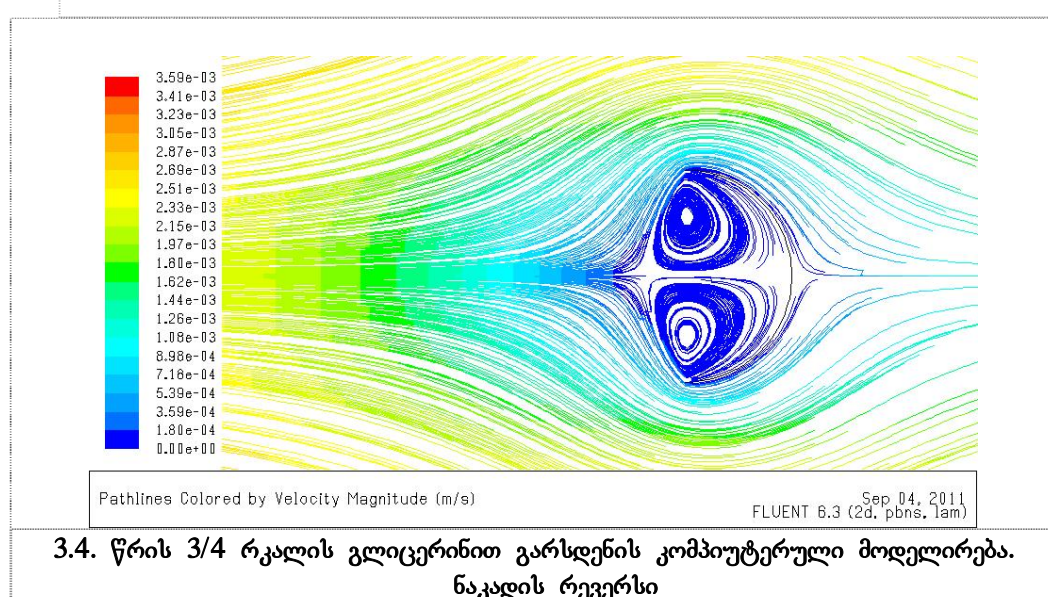
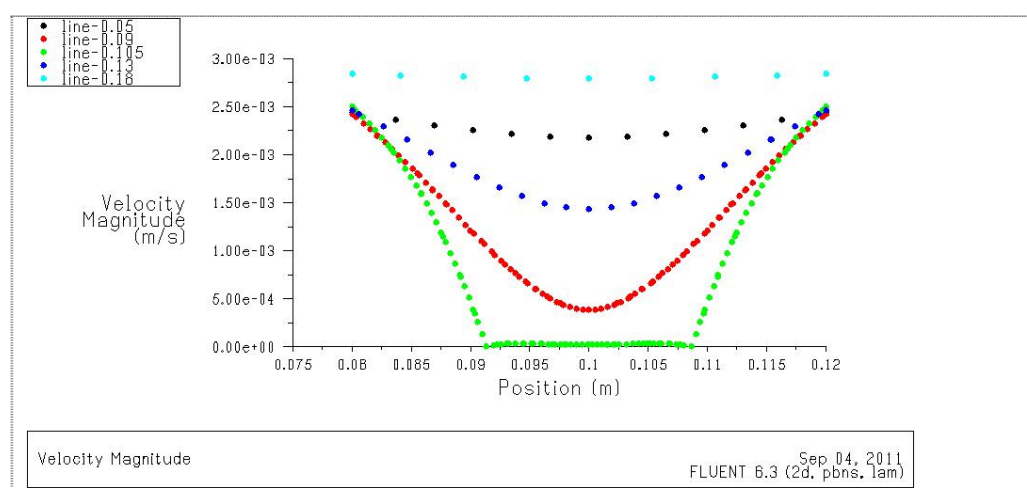
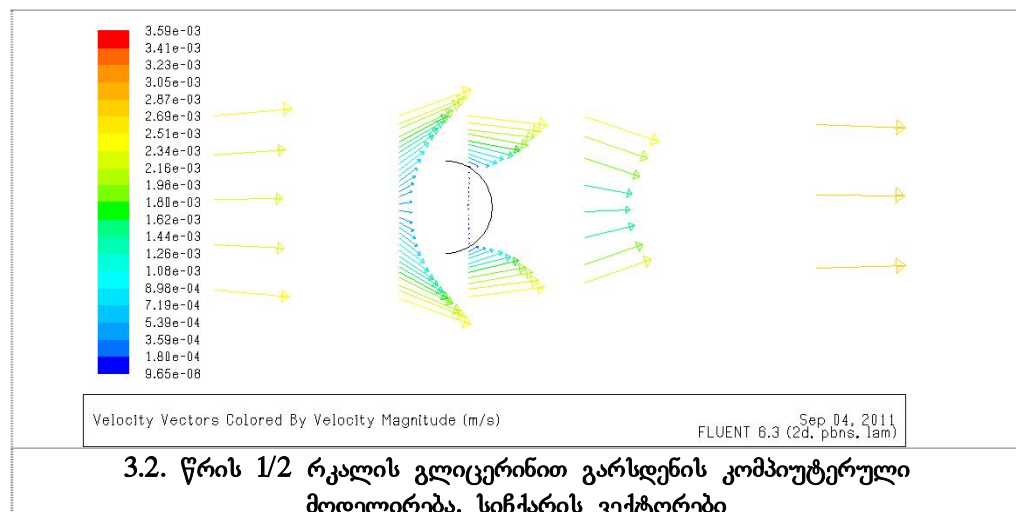
2.3. წრის 3/4 რკალის გლიცერინით გარსდენის კომპიუტერული მოდელირება.
სიჩქარის გრაფიკები

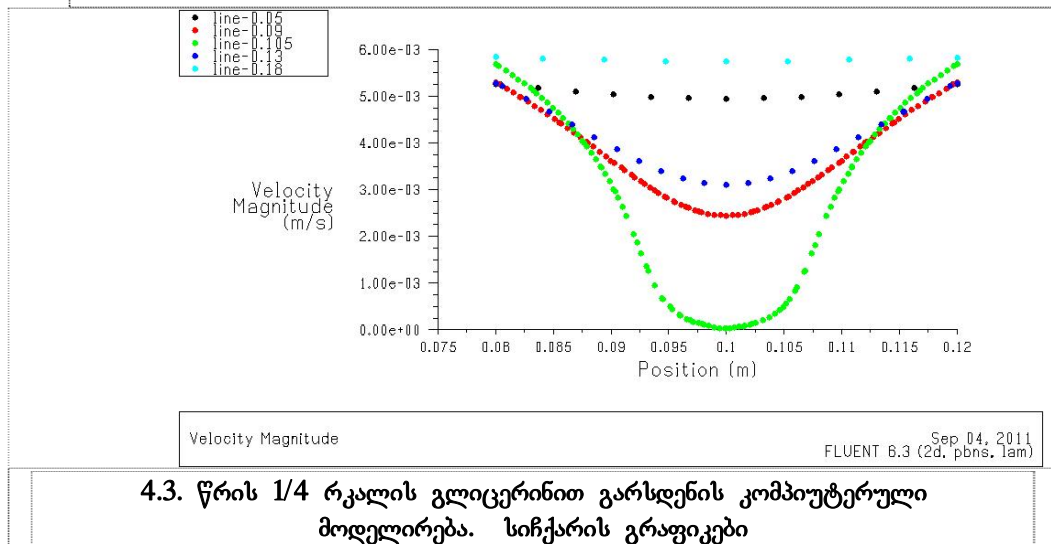
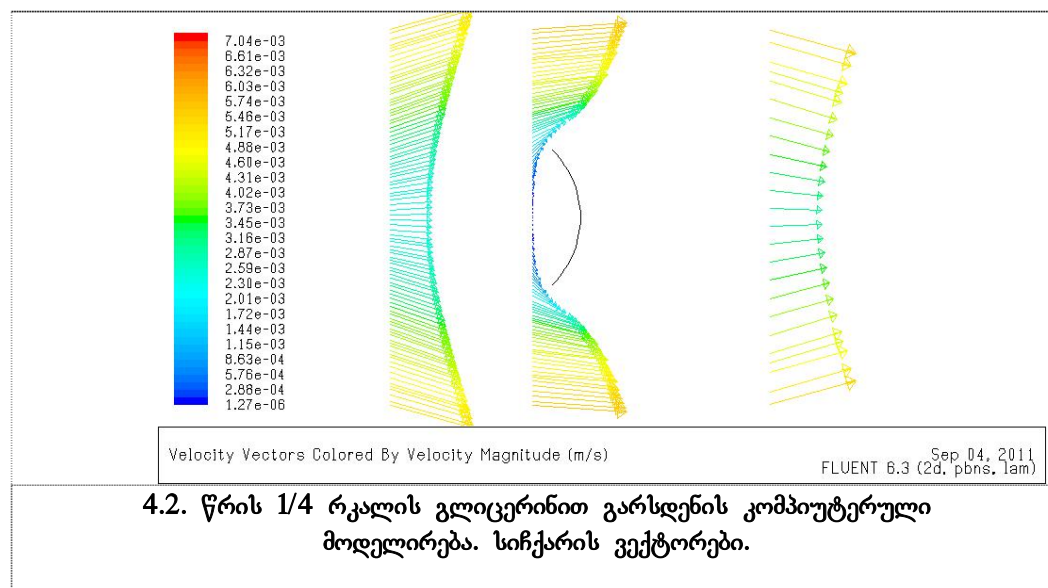
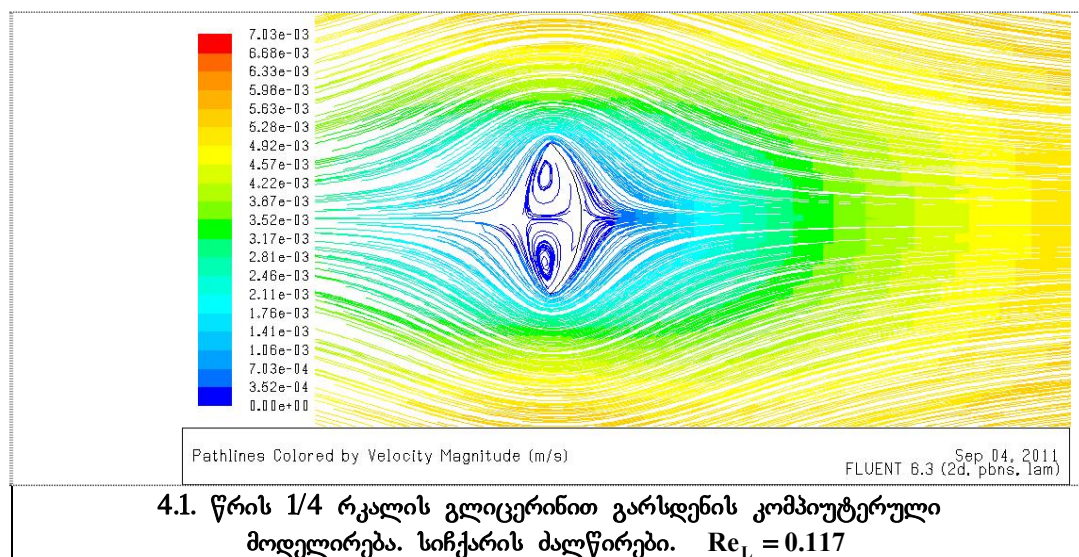


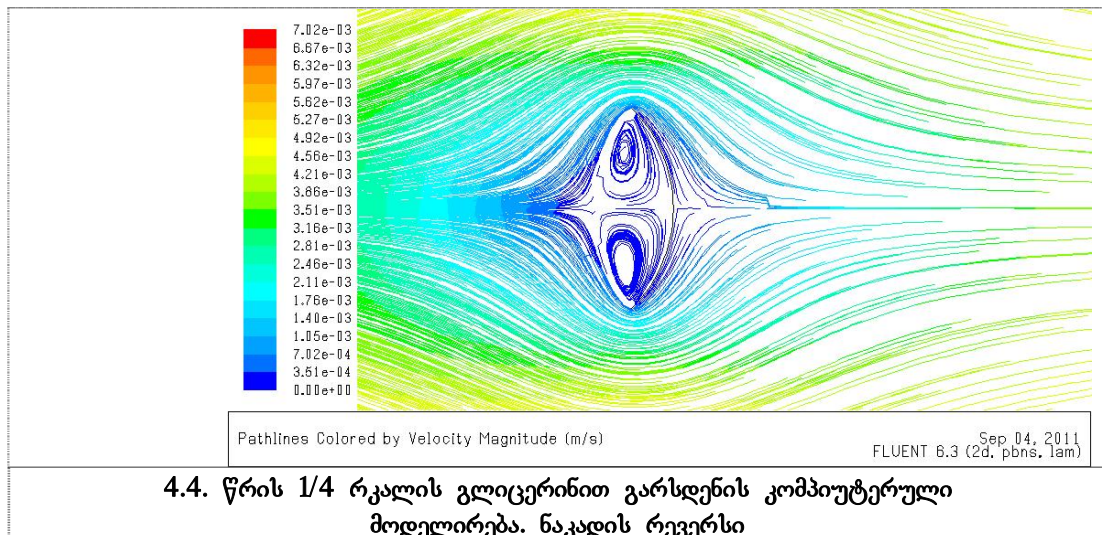
2.4. წრის 3/4 რკალის გლიცერინით გარსდენის კომპიუტერული მოდელირება.
ნაკადის რევერსი



3.1. წრის 1/2 რკალის გლიცერინით გარსდენის კომპიუტერული
მოდელირება. სიჩქარის ძალწირები. $Re_L = 0.114$







რკალების შიდა ნაწილში, როგორც მოსალოდნელი იყო, აღინიშნება ერთი წყვილი გრიგალი, რომელთა ცენტრებს შორის მანძილები ნახაზების მიხედვით ჭოლია, მმ: ნახ. 1.1. - 8,4; ნახ. 2.4. - 8,3; ნახ. 3.1. - 11,5; ნახ. 3.4. - 11,3; ნახ. 4.1. - 7,8 და ნახ. 4.4. - 7,9. ანუ წრის დიამეტრზე დაყვანილი სიდიდეებია: 0,42, 0,57 და 0,39 შესაბამისად და ანალოგიურად რკალის სიკრძეზე დაყვანილი კი - 0,176, 0,360 და 0,509 შესაბამისად.

[1]-ში მოცემულია ნახევარ წრის ალუმინის ფხნილით დისპერგირებული გლიცერინით გარსდენის ($Re_d = 0.031$) წყვილ გრიგალებს შორის ექსპერიმენტულად განსაზღვრული მანძილი - 0.52d. ამ უკანასკნელის გადახრა კომპიუტერული მოდელირებით მიღებულ სიდიდისაგან შეადგენს 9%, რაც შესაძლებელია დაკავშირებულია გლიცერინის თბოფიზიკური მახასიათებლებისა და რეინოლდის რიცხვების განსხვავებებთან.

ლ ი ტ ე რ ა ტ ჟ რ ა

1. Альбом течений жидкости и газа/Пер. с англ./Сост. М.Ван-Дайк. М.:Мир. 1986.
2. გიგიტელაშვილი კ., კილურაძე დ., კილურაძე ო. სითხის ნაკადის რეჟიმების მოდელირება თანამედროვე პროგრამული პაკეტების გამოყენებით//ენერგია. 2011. №3 (59). თბილისი.